

CERN Exkursion:

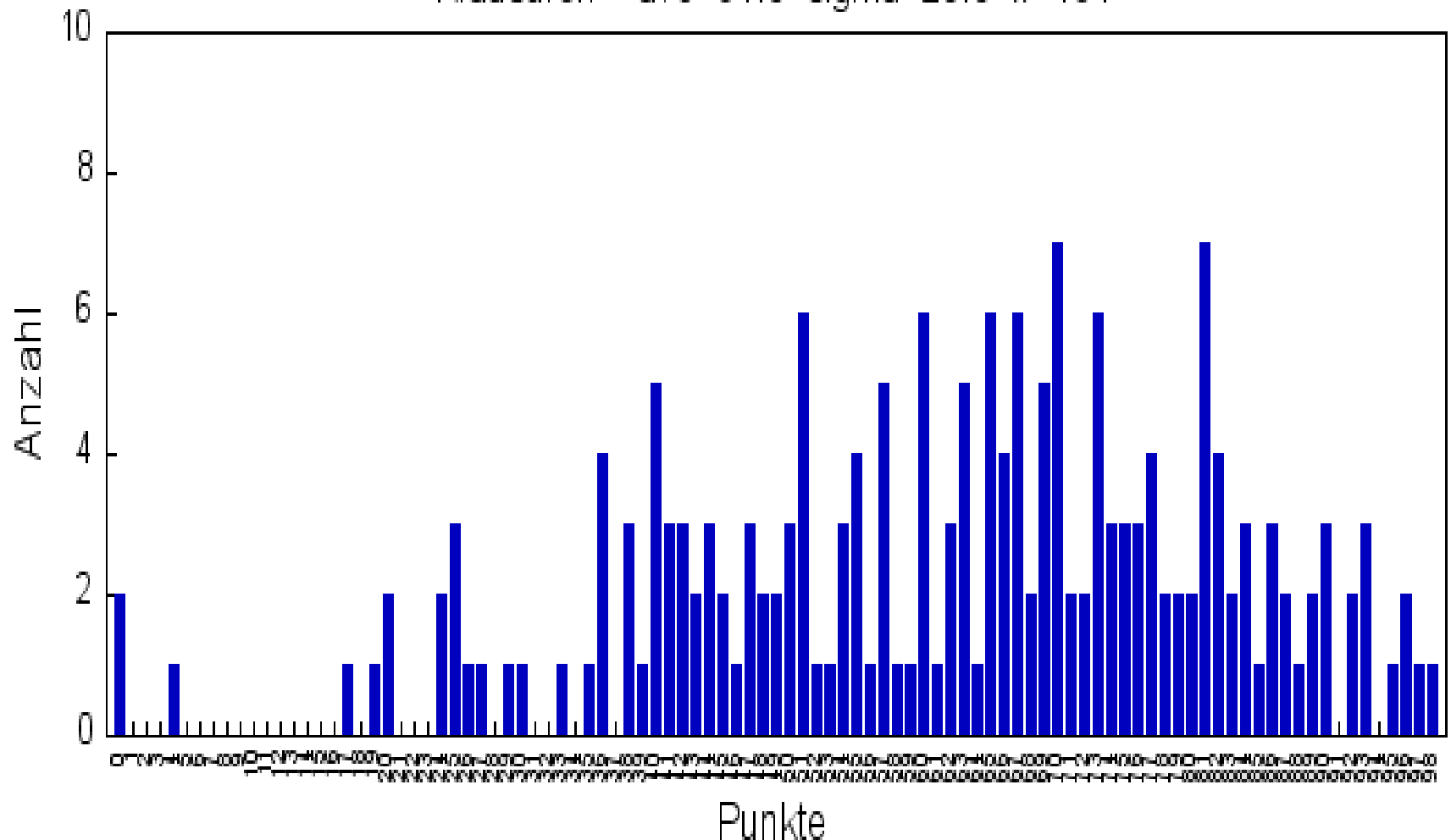
Datum 25./26. Februar 2009

max 92 Teilnehmer (2 Busse)

im Moment ausgebucht, aber Warteliste möglich

Klausur:

Klausuren ave=61.3 sigma=20.3 #=191



Impulsverteilung von Quarks und Antiquarks im Nukleon gemessen bei $q^2 = 10 \text{ GeV}^2$
 aus Neutrino und Antineutrino-Streuung am Proton bei CERN und Fermilab

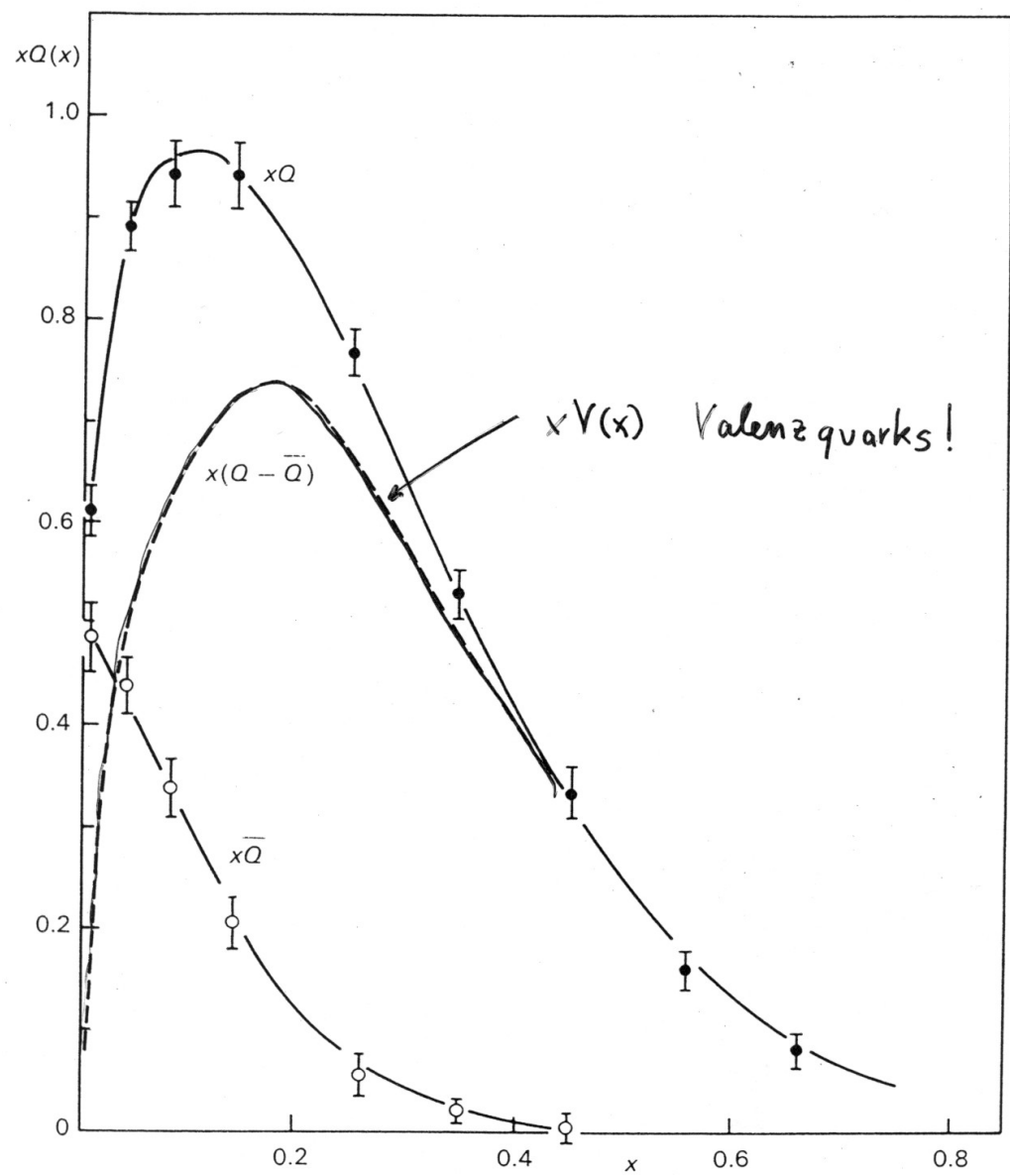
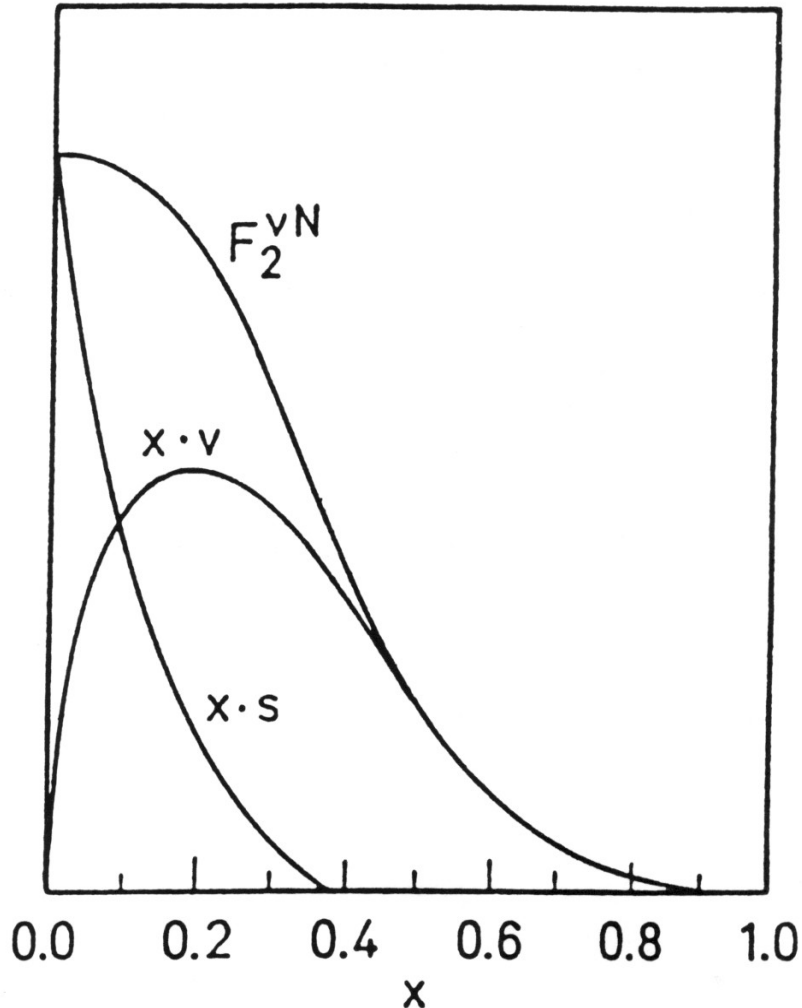
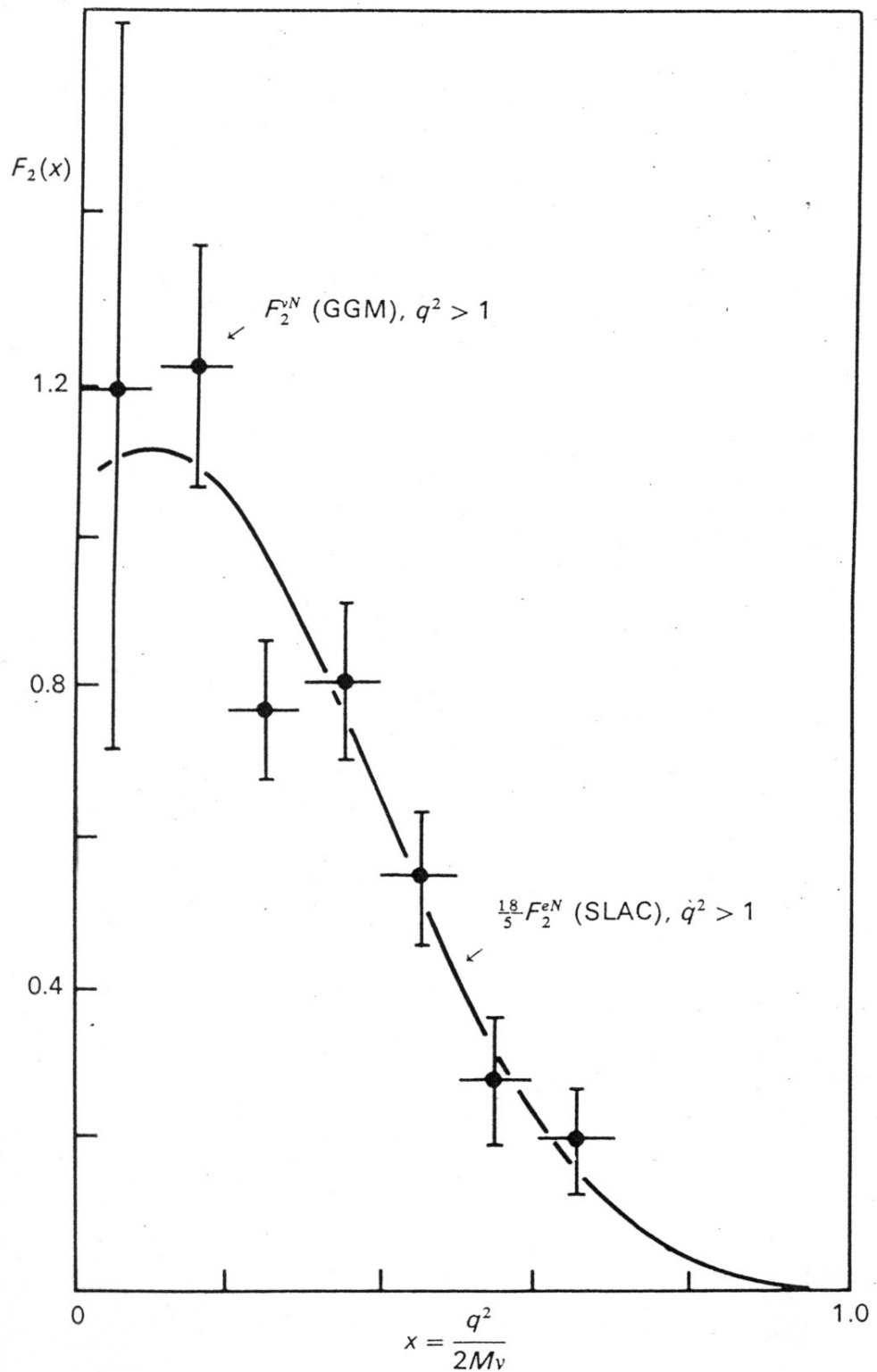


Fig. 6.18

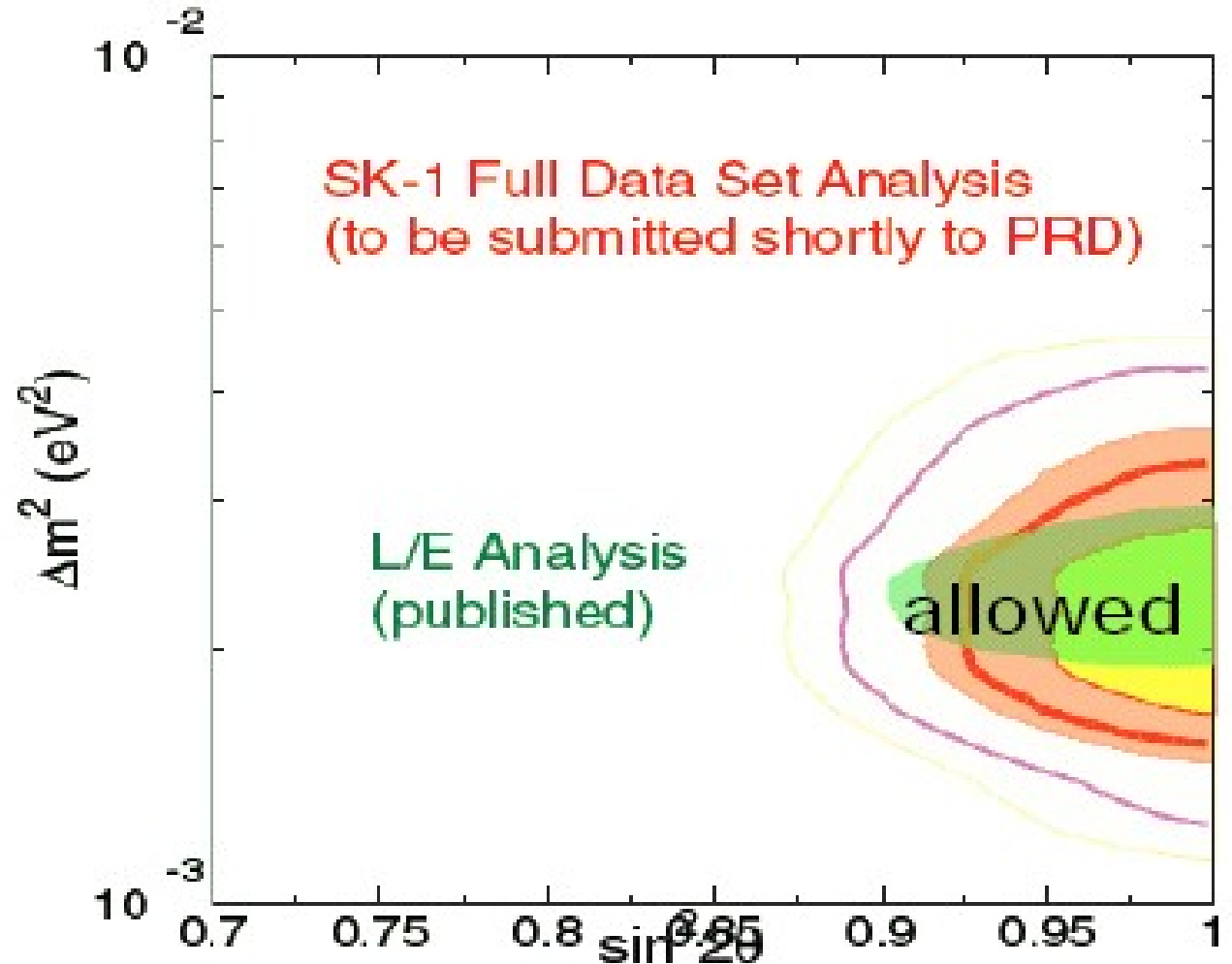
Vergleich Neutrino-Nukleon tief-inelastische Streuung (CERN PS) mit Elektron-Nukleon Streuung (SLAC) bei vergleichbarem q^2

Bestätigung der fraktionalen Quark-Ladungen $1/3$ und $2/3$

totales Integral unter der Kurve misst Impulsbruchteil des Nukleons, der von Quarks getragen wird zu 50%



Evidenz fuer Neutrinooszillation von atmosphaerischen Muon-Neutrinos



$\nu_\mu \leftrightarrow \nu_\tau$ mixing of atmos. neutrinos

$$\Delta m^2 = (2.4 \pm 0.4) \times 10^{-3} \text{ eV}$$

$$\sin^2 2\theta > 0.92 @ 90\% \text{ C.L.}$$

Evidenz fuer Oszillation von Elektron-Neutrinos von der Sonne

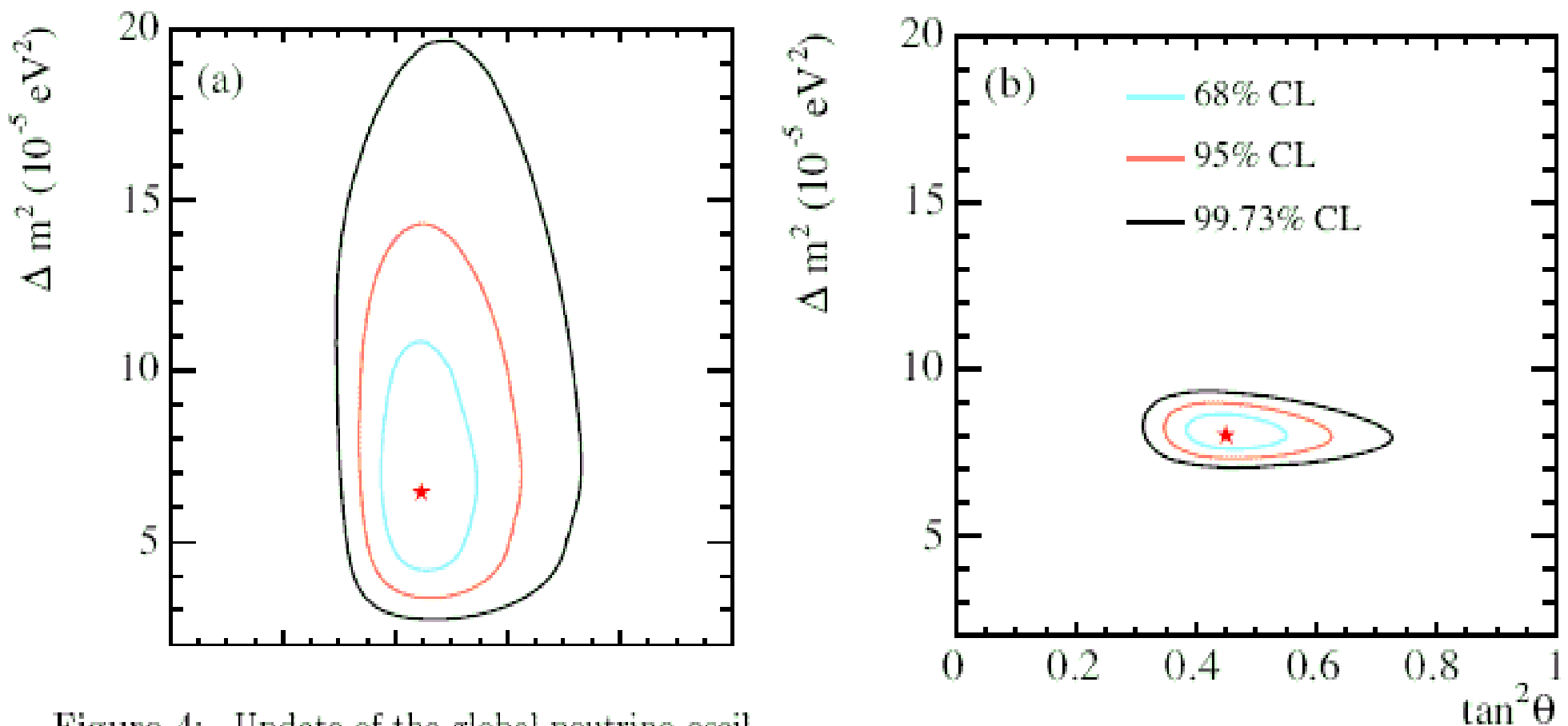


Figure 4: Update of the global neutrino oscillation contours given by the SNO Collaboration assuming that the ${}^8\text{B}$ neutrino flux is free and the *hep* neutrino flux is fixed. (a) Solar global analysis. (b) Solar global + KamLAND. This figure is taken from Ref. [11]. See full-color version on color pages at end of book.

Entdeckung des Anti-Omega-Baryons (sss)

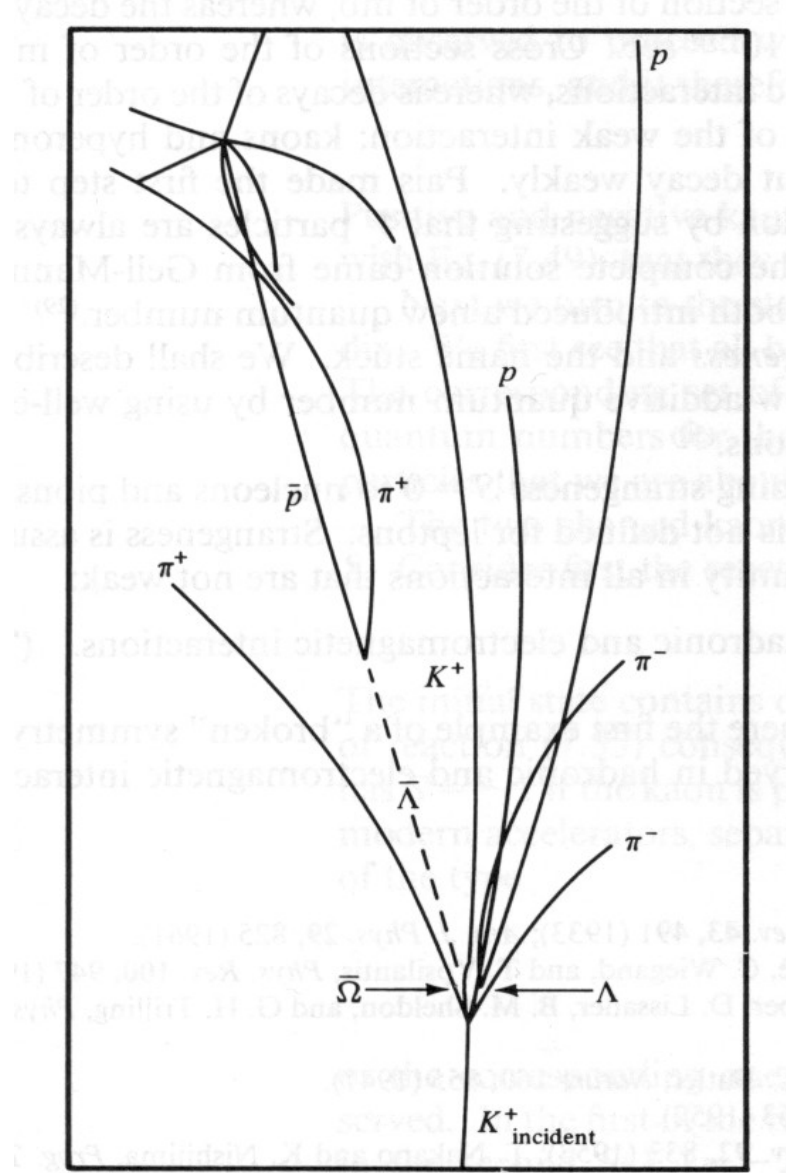


Fig. 7.7. Drawing of the reaction $dK^+ \rightarrow \bar{\Omega}\Lambda\Lambda\bar{\Lambda}p\pi^+\pi^-$ and the resulting decays. [A. Firestone et al., *Phys. Rev. Lett.* **26**, 410 (1971).]

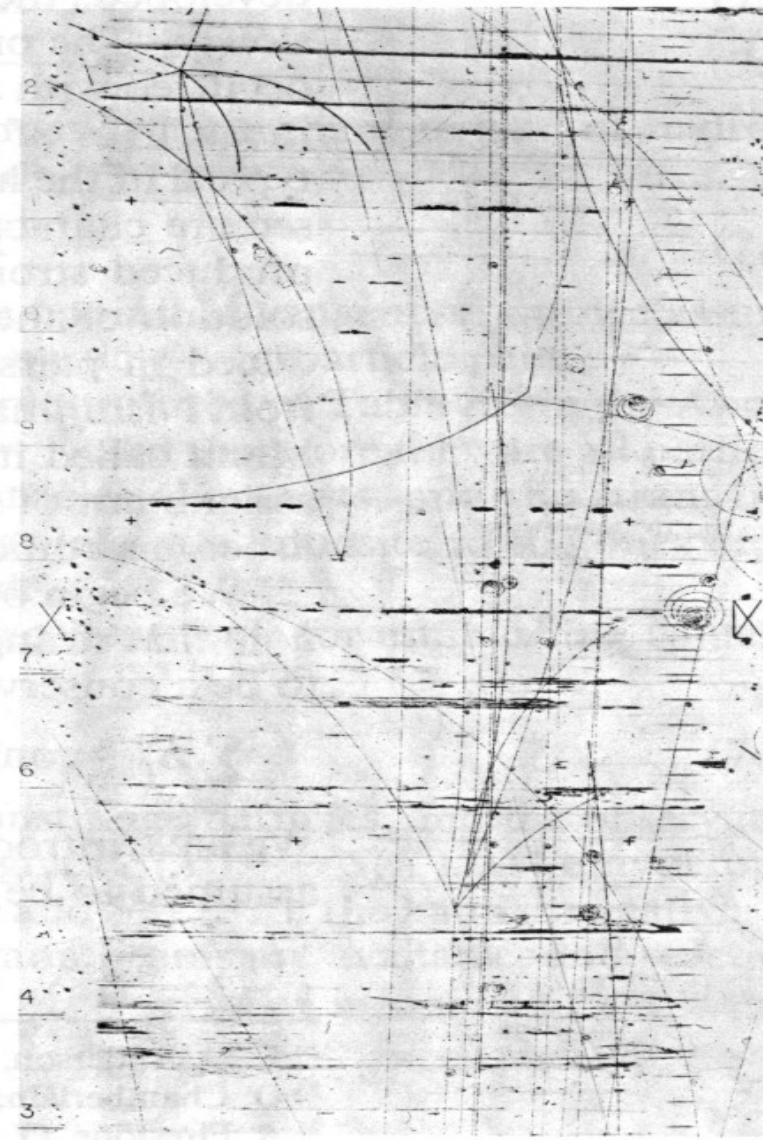


Fig. 7.8. Production of the $\bar{\Omega}$, observed in a study of K^+d interactions at a momentum of 12 GeV/c, in the 2 m SLAC (Stanford Linear Accelerator Center) bubble chamber.⁽²⁸⁾ (Courtesy Gerson Goldhaber, Lawrence Berkeley Laboratory.)